**Zeitschrift:** Schweizerische Bauzeitung

**Herausgeber:** Verlags-AG der akademischen technischen Vereine

**Band:** 113/114 (1939)

Heft: 4

Inhaltsverzeichnis

## Nutzungsbedingungen

Die ETH-Bibliothek ist die Anbieterin der digitalisierten Zeitschriften auf E-Periodica. Sie besitzt keine Urheberrechte an den Zeitschriften und ist nicht verantwortlich für deren Inhalte. Die Rechte liegen in der Regel bei den Herausgebern beziehungsweise den externen Rechteinhabern. Das Veröffentlichen von Bildern in Print- und Online-Publikationen sowie auf Social Media-Kanälen oder Webseiten ist nur mit vorheriger Genehmigung der Rechteinhaber erlaubt. Mehr erfahren

## **Conditions d'utilisation**

L'ETH Library est le fournisseur des revues numérisées. Elle ne détient aucun droit d'auteur sur les revues et n'est pas responsable de leur contenu. En règle générale, les droits sont détenus par les éditeurs ou les détenteurs de droits externes. La reproduction d'images dans des publications imprimées ou en ligne ainsi que sur des canaux de médias sociaux ou des sites web n'est autorisée qu'avec l'accord préalable des détenteurs des droits. En savoir plus

## Terms of use

The ETH Library is the provider of the digitised journals. It does not own any copyrights to the journals and is not responsible for their content. The rights usually lie with the publishers or the external rights holders. Publishing images in print and online publications, as well as on social media channels or websites, is only permitted with the prior consent of the rights holders. Find out more

**Download PDF:** 15.12.2025

ETH-Bibliothek Zürich, E-Periodica, https://www.e-periodica.ch

INHALT: Neue Berechnungsgrundlagen für Ventilatoren und Gebläse Die Photogrammetrie in der Schweiz. Schweizer Architektur. — Mitteilungen: Thermische Abbildung elektrischer Maschinen. Bremsvorgang als Wärmeproblem, Eternitrohre für Hausinstallationen. «Clarence-Dock»-Kraftwerk der Stadt Liverpool. Stand der optischen Telephonie. Wärmeübertragungsprobleme. Grosse Auslegerbrücke aus Eisenbeton. Die Zukunft gehört dem langsamen Oceandampfer. Aluminium-Tagung Zürich 1939. «Thorstahl». Beobachtungen über fehlerhafte Beton-Vibration. World Automotive Engineering Congress, 1939. Eine besondere «Autobahn». Kunstgewerbemuseum Zürich. Schweiz. Beiträge zum I, V.B.H.-Kongress. — Wettbewerbe: Töchterschule der Stadt Zürich. — Literatur. — Mitteilungen der Vereine. — Sitzungs- u. Vortrags-Kalender.

Der S. I. A. ist für den Inhalt des redaktionellen Teils seiner Vereinsorgane nicht verantwortlich Nachdruck von Text oder Abbildungen ist nur mit Zustimmung der Redaktion und nur mit genauer Quellenangabe gestattet Band 113

## Neue Berechnungsgrundlagen für Ventilatoren und Gebläse radialer Bauart

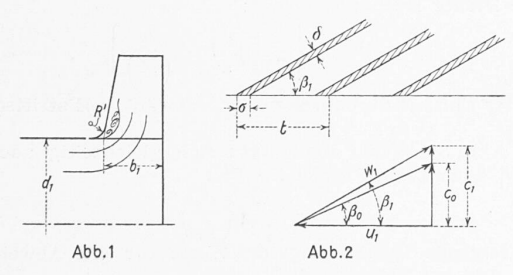
Von Dr. Ing. BRUNO ECK, Köln

Beim Entwurf eines radialen Gebläserades wurden bislang zur Ermittlung des Eintrittsdurchmessers, der Eintrittsbreite und des Schaufelwinkels Annahmen gemacht, die als ziemlich willkürlich bezeichnet werden müssen. Sehr verbreitet ist z.B. die Annahme einer bestimmten Geschwindigkeitsspanne für die meridiane Eintrittsgeschwindigkeit. In Anlehnung an die bei Kreiselpumpen üblichen Berechnungsmethoden wird für die Eintrittsgeschwindigkeit oft ein Wert von 6 - 15 m/s angegeben. In der offenbaren Empfindung dieser Willkür wurde von verschiedenen anderen Seiten versucht, die Eintrittsgeschwindigkeit in Zusammenhang mit der Umfangsgeschwindigkeit bezw. dem Ueberdruck zu bringen. So entstehen Gesetze wie z.B.  $c_1 = C \sqrt{\Delta p}$ . Auch wurde versucht, diese Lücke durch empirisch bzw. statistisch begründete Zahlenangaben auszugleichen. Alle bekannt gewordenen Richtlinien lassen indes physikalisch einleuchtende Gesetzmässigkeiten nicht erkennen.

Neuere Untersuchungen 1) haben nun gezeigt, dass bereits einfache Ueberlegungen zu ganz bestimmten Vorschriften führen. Denn die einleuchtende Forderung, dass bei gegebenem Volumen, Druck und Aussendurchmesser die Laufradverluste ein Minimum ergeben sollen, führt zu einer jeder Willkür enthobenen Bestimmung der drei Grössen: Eintrittsdurchmesser, Eintrittsbreite und Eintrittsschaufelwinkel. Im Folgenden sollen einige Ergänzungen dieser neuen Berechnung mitgeteilt werden.

1. Einfluss der Eintrittsbeschleunigung und der Eintrittsbreite.

Sehr viele auf dem Markt befindliche Ventilatoren haben den Nachteil, dass die Eintrittsbreite b, (Abb. 1) zu gross ist. Die Strömung reisst kurz hinter der Krümmung ab, und nur ein Teil der Schaufelbreite ist dann mit aktiver Strömung ausgefüllt.



Die Umlenkung der Luft an dieser Stelle ist einer Krümmerströmung vergleichbar, sodass die gleichen Mittel zur Vermeidung der Ablösung angewandt werden können: 1. Beschleunigung der Hauptströmung, 2. möglichst grosser Krümmungsradius. Dass die Erinnerung an diese einfachen konstruktiven Mittel nicht überflüssig ist, geht aus Versuchen hervor, die der Verfasser kürzlich ausführte. An mehreren handelsüblichen Ventilatoren wurde die Eintrittsbreite durch einen ringförmigen Blechstreifen in ziemlich roher Form wesentlich verkleinert, ohne dass der Wirkungsgrad schlechter wurde oder Druck und Fördermenge bei  $\eta_{\max}$  Einbusse erlitten. Bei einer Konstruktion konnten ohne Nachteil sogar <sup>2</sup>/<sub>5</sub> der ganzen Breite abgedeckt werden.

Die Forderung einer hinreichenden Beschleunigung im Eintritt ergibt einen einfachen Zusammenhang zwischen  $d_1$  und  $b_1$ . Wird die Beschleunigung durch eine Zahl  $\mu$  festgelegt, so ergibt

$$\mu = rac{rac{\pi \, d_1^2}{4}}{\pi \, d_1 \, b_1}; \qquad b_1 = rac{d_1}{4 \, \mu}$$

Allgemein lässt sich sagen, dass der Faktor  $\mu$  umso grösser sein muss, je kleiner der Krümmungsradius ist. Bei guten Ausführungen genügt meist  $\mu = 1,2$ . Für beliebiges  $\mu$  und endliche Schaufelstärke soll im Folgenden die Minimumberechnung durchgeführt werden.

Abb. 2 zeigt den abgewickelten Laufradeintritt und das Geschwindigkeitsdreieck kurz vor und hinter dem Eintritt. Die Schaufelstärke verengt den Meridianquerschnitt und führt bekanntlich zu einer Aufrichtung der relativen Strömungsrichtung nach folgenden Gleichungen:

$$c_1 = c_{1\,m} = c_{0\,m} \, rac{t}{t-\sigma} \, ; \qquad \sigma = rac{\delta}{\sin\,eta_1} \ ext{tg} \, eta_1 = ext{tg} \, eta_0 \, rac{t}{t-\sigma}$$

Aus dem Geschwindigkeitsdreieck entnimmt man:  $w_{1}^{2} = c_{1}^{2} +$  $u_1^2$ . Nun ist  $w_1$  die grösste Geschwindigkeit, die im Laufrad vorkommt; ihre absolute Grösse ist für die Verluste entscheidend. Sorgt man nun dafür, dass  $w_{\scriptscriptstyle 1}$  bei gegebenem Fördervolumen, gegebener Umfangsgeschwindigkeit und Aussendurchmesser einen Kleinstwert hat, so sind die kleinsten Laufradverluste zu er-

 $\operatorname{Um}\ c_{\scriptscriptstyle 1}$  und  $u_{\scriptscriptstyle 1}$  in Zusammenhang zu bringen mit  $V,\ d_{\scriptscriptstyle 2}$  und  $u_{2}$ , berücksichtigen wir:

$$V = c_1 \frac{t - \sigma}{t} \pi d_1 b_1$$
 und  $\frac{u_1}{u_2} = \frac{d_1}{d_2}$ 

$$V = c_1 \frac{t-\sigma}{t} \pi d_1 b_1 \text{ und } \frac{u_1}{u_2} = \frac{d_1}{d_2}$$
 Hieraus ergibt sich: 
$$c_1 = \frac{V}{\pi d_1 b_1} \frac{t}{t-\sigma} = \frac{V4\mu}{\pi d_1^2} \frac{t}{t-\sigma} = \frac{V4\mu}{\pi \left(\frac{d_1}{d_2}\right)^2 d_2^2} \frac{t}{t-\sigma}$$

sowie

$$u_{\scriptscriptstyle 1} = u_{\scriptscriptstyle 2} \, rac{d_{\scriptscriptstyle 1}}{d_{\scriptscriptstyle 2}}$$

Die Einführung in  $w_{\scriptscriptstyle 1}{}^{\scriptscriptstyle 2}$  ergibt dann:

$$w_{\scriptscriptstyle 1}{}^2 = \frac{16\,V^2\mu^2}{\pi^2\,d_{\scriptscriptstyle 2}{}^4} \left(\frac{t}{t-\sigma}\right)^2 \frac{1}{\left(\frac{d_{\scriptscriptstyle 1}}{d_{\scriptscriptstyle 2}}\right)^4} + u_{\scriptscriptstyle 2}{}^2 \left(\frac{d_{\scriptscriptstyle 1}}{d_{\scriptscriptstyle 2}}\right)^2$$
 Damit ist  $w_{\scriptscriptstyle 1}{}^2$  in Abhängigkeit vom Durchmesserverhältnis  $d_{\scriptscriptstyle 1}/d_{\scriptscriptstyle 2}$  gewonnen. Das Minimum berechnet sich aus

$$rac{d\,w_{_1}{}^2}{d\left(rac{d_1}{d}
ight)}=0$$

leicht zu:

$$\frac{d_{_{1}}}{d_{_{2}}} = \sqrt{\frac{\frac{\sqrt{32\ V\,\mu}}{\pi\,d_{_{2}}{}^{2}u_{_{2}}}} \,\frac{t}{t-\sigma}}$$

Durch Einführung der Lieferziffer  $V=arphirac{\pi}{4}\,d_2{}^2u_2\,$  erhält  $\,$  man eine dimensionslose Bezeichnung:

$$\frac{d_{\scriptscriptstyle 1}}{d_{\scriptscriptstyle 2}} = \sqrt[3]{\sqrt{2}\,\mu\,\varphi\,\frac{t}{t-\sigma}}$$

 $\frac{d_{_1}}{d_{_2}}=\sqrt[3]{\sqrt{2}\;\mu\,\varphi\,\frac{t}{t-\sigma}}$  Es handelt sich hier um die gleichen dimensionslosen Kennziffern, die C. Keller2) für Axialgebläse eingeführt hat. Indem diese auch bei Radialgebläsen verwendet werden, ist eine einheitliche Uebersicht über alle Gebläse möglich. Der Schaufeleintrittswinkel  $\beta_1$ 

folgt aus der Beziehung tg  $\beta_1=\frac{c_1}{u_1}$ . Nach Einsetzen der vorhin berechneten Werte für  $c_1$  und  $u_1$  erhält man unter gleichzeitiger Berücksichtigung der Minimalbedingung:  $\operatorname{tg} \ \beta_1=\frac{1}{\sqrt{2}}\ ; \ \beta_1 \ {\sim}\ 35^{\ 0}$  Es ergibt sich somit ein konstanter Winkel, unabhängig von

tg 
$$\beta_1=rac{1}{\sqrt[]{2}}$$
;  $\beta_1\backsim 35\,$ 0

der Fördermenge, dem Aussendurchmesser und der Umfangsgeschwindigkeit. Diese bereits früher abgeleitete Beziehung¹) bleibt somit noch bestehen, wenn eine beliebige Beschleunigung vorhanden ist und die endliche Schaufelstärke berücksichtigt wird. Das Durchmesserverhältnis hingegen wird grösser, wenn beide Einflüsse berücksichtigt werden.

Die Rechnung kann leicht veranschaulicht werden. Abb. 3 zeigt schematisch einen Laufradschnitt, der nach den abgeleiteten Gleichungen dimensioniert wurde. Aendert man hier den Eintrittsdurchmesser unter Beibehaltung der geforderten Eintrittsbeschleunigung, so wird  $w_1$  in jedem Falle grösser. Für einen kleineren und einen grösseren Eintrittsdurchmesser ist in Abb. 3 die Ermittlung gestrichelt durchgeführt. Es ergeben sich Geschwindigkeitsdreiecke, deren Endpunkte in Abb. 3 durch eine

<sup>1)</sup> B. Eck: «Ventilatoren» (Berlin, 1937, Verlag Jul. Springer).

<sup>&</sup>lt;sup>2</sup>) C. Keller, Axialgebläse vom Standpunkte der Tragflügeltheorie Dissertation Zürich 1934.